

Obr. 4. Zjednodušené schéma převodníku CB

Povšimněme si ještě, že střední hodnota napětí na výstupu integrátoru se při zvětšování napětí  $U_{st}$  od nuly do 2 V posouvá od kladných do záporných velikostí. Důvod je zřejmý – nábežná hraha od okamžiku překročení nulové úrovni končí po uplynutí jednoho hodinového impulsu.

Dostáváme se nyní k obr. 4, s jehož pomocí si již můžeme popsat zjednodušené obvodové uspořádání převodníku tohoto typu. Obrázek sám ukazuje jeho hlavní přednost, která spočívá v extrémní jednoduchosti: Aktivním prvkem integrátoru je operační zesilovač. Díky jeho velkému zesílení a zpětnovazební síti je bod A udřízený na prakticky nulovém potenciálu. Vstupní odpor převodníku je tedy určen odporem  $R_1$ .

Zřejmě unikátní je řešení komparátoru. Tento obvod musí mít dvě prahové úrovne a tedy určitou hysterézi, které se v klasických konstrukcích dosahují kladnou zpětnou vazbu, což často přináší různé problémy. Zvláštností systému charge balancing je možnost použít na tomto místě jednoduchý operační zesilovač bez zpětné vazby. Hysteréze se dosahuje číslicovým způsobem, což často vyplývá již z předchozího popisu. Prahová úroveň komparátoru se potom volí shodná pro kladný i záporný smysl napětí výstupu integrátoru – jedinou možností z hlediska symetrie je úroveň 0 V.

Číslicový blok se skládá z klopného obvodu J-K, invertoru, hradla a dvou diod. Předpokládejme, že výstup Q klopného obvodu má úroveň log. 0,  $\bar{Q}$  = log. 1. Při  $Q = \text{log. } 0$  je hradlo pasivní, na čítač nepřichází žádný impuls. Protože  $\bar{Q} = \text{log. } 1$ , teče přes  $D_2$  proud  $I_{ref}$ . Tím je však uzavřena dioda  $D_1$ , takže do bodu A (obr. 4) referenční proud neteče. Předpokládejme, že se výstupní signál integrátoru změní do záporných hodnot. Jakmile napětí překročí prahovou úroveň (tedy 0 V), objeví se na výstupu komparátoru skokem signál kladné polarity, čímž má vstup J úroveň log. 1 a vstup K úroveň log. 0. Následující hodinový impuls překlopí obvod J-K, čímž dochází k aktivizaci hradla a průchodu hodinových impulsů do čítače. Současně nyní teče přes  $D_1$  ( $D_2$  je uzavřena) referenční proud z integrátoru. Dosáhne-li výstupní signál integrátoru znovu 0 V (prahové hodnoty), tentokrát při přechodu do kladných úrovni, přechází výstup komparátoru znovu do záporných hodnot, což funkčně odpovídá stavům J = log. 0, K = log. 1. S dalším hodinovým impulsem přechází Q na úroveň log. 0,  $\bar{Q}$  na log. 1. Hradlo je znovu pasivní a referenční proud je od integrátoru odpojen. Časový interval mezi skokem napětí na výstupu komparátoru a hodinovým impulsem, působícím překlopení obvodu J-K, je číslicově získaná hysteréza systému. Vzhledem k volnoběžnosti číslicového bloku je možno stanovit maximální možnou přesnost (rozlišovací schopnost) převodníku  $\pm 1$  digit.

Ve srovnání s nejrozšířenějším systémem převodníku A/C – systémem dvojí integrace – je

je obtížnější potlačení rušivého napětí síťového kmitočtu a jeho harmonických (vyšší pořadavy na vstupní filtry).

Fa Keithley ověřovala funkční vlastnosti svého převodníku dlež dva roky v multimetu Model 167 s výstupem na tiskárnu. V současné době nabízí nový multimeter (Model 168) pro měření odpornů, ss a st napětí a proudu, který je vybaven automatickou volbou rozsahu.

## Literatura

- [1] Kime, R. C.; Kusterer, V.: „Charge balancing“ – ein neues A/D-Integrationsverfahren. Elektronik 12/1974.
- [2] Georg, O.: Digitale Messtechnik. ATM + Messtechnische Praxis 3/75.

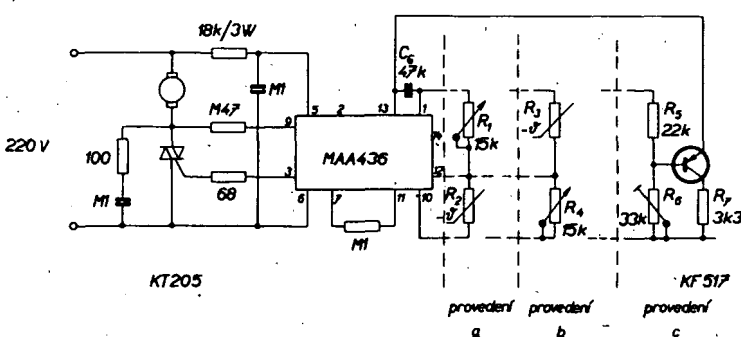
# Příklady použití MAA436

Ing. M. Arendáš

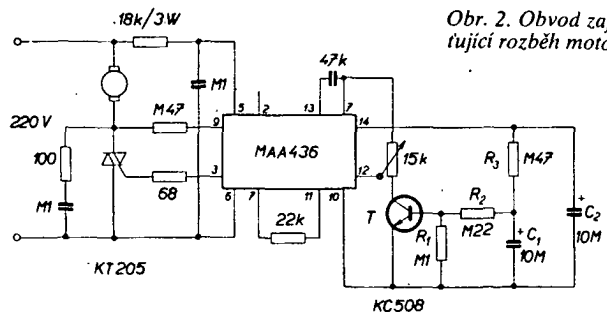
V RK 5/1975 bylo uveřejněno zapojení a popis činnosti nového integrovaného obvodu TESLA, MAA436. V tomto článku jsou přehledně uvedeny aplikace tohoto obvodu v regulačních a jiných zařízeních.

Obvod MAA436 se hodí pro každou tyristorovou či triakovou regulaci, tedy k řízení proudu do topných těles, k řízení rychlosti otáčení motorů – ovšem pouze těch, jichž rychlosť je úměrná napájecím napětí, k řízení svářecího proudu svářeček, jak střídavých, tak stejnosměrných, k řízení proudu nabíječek akumulátorů atd. Uvedené příklady použití mají být typickými příklady a vodítkem k hledání dalších možností.

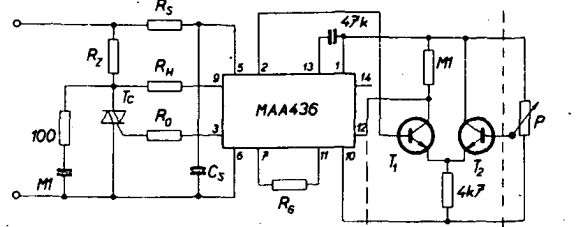
Na obr. 1a je obvod k řízení teploty změnou rychlosti otáčení motoru ventilátoru. Předpokládá se, že ventilátor slouží pouze k chlazení. Odpor  $R_1$  se nastaví rychlosť otáčení motoru vzhledem k teplotě, které chceme dosáhnout (stupnice pod ovládacím knoflíkem  $R_1$  může být popř. ocejchována ve °C). Termistor  $R_2$  má odpor asi 5 kΩ při sledované teplotě. Zvyšuje-li se v daném prostředí teplota, zvětšuje se rychlosť otáčení – stejněsměrné řídící napětí na vstupu 12 integrovaného obvodu MAA436 se zvětšuje, fazový řídící úhel impulsů na výstupu 3 se zmenšuje, triak se více otevírá (na větší část půlperiody střídavého síťového napětí), motorem ventilátoru teče větší proud a jeho rychlosť otáčení se zvětšuje. Důsledkem větší rychlosťi otáčení motoru je větší množství vhlášeného chladného vzduchu v místnosti, tím se teplota v místnosti sníží a motor ventilátoru se začne točit pomaleji. V provedení podle obr. 1b je zpětnovazební smyčka zapojena s „obrácenou logikou“: vhlášený ventilátor do místnosti horký vzduch, je nutné, aby se rychlosť otáčení motoru ventilátoru při zvýšení teploty v místnosti naopak zmenšovala. Při zvyšování teploty se napětí na vstupu 12 integrovaného obvodu zmenšuje – dělič složený z termistoru s odporem 5 kΩ ( $R_3$ ) a odporu  $R_4$  je zapojen obráceně. To má za následek, že se nábežná hraha spouštěcího impulsu 3 více posouvá vůči počátku, tedy nulovému napětí střídavého regulovaného proudu. Triak se přivře, motorem ventilátoru teče menší proud a ventilátor se točí pomaleji. V obou dřívějši popsaných případech lze rychlosť motoru regulovat od nuly do maxima. Omezovací obvod na obr. 1c zamezuje, aby se rychlosť motoru zmenšila na nulu, takže kombinujeme-li zapojení na obr. 1c s některým předešlým zapojením (obr. 1b nebo 1a), přejímá od



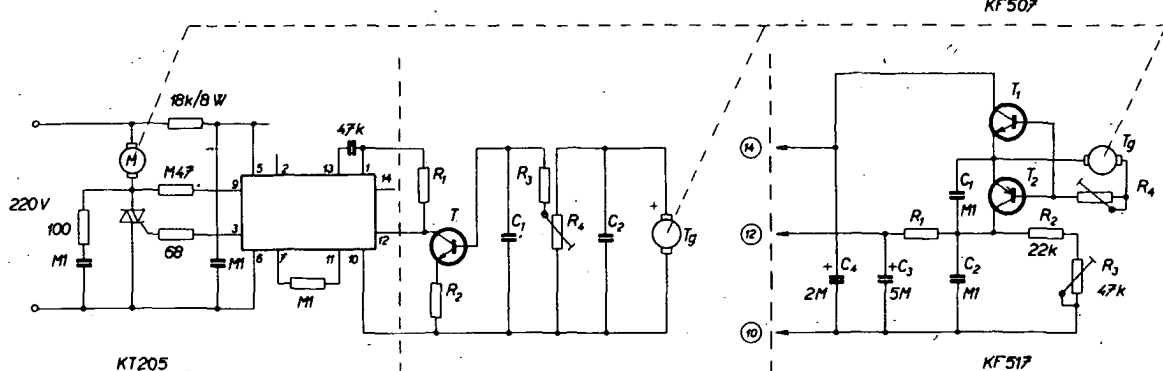
Obr. 1. Řízení teploty změnou rychlosti otáčení motoru ventilátoru



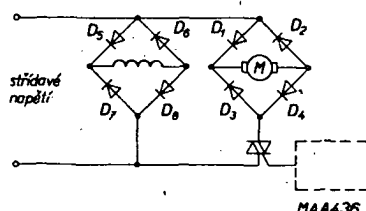
Obr. 2. Obvod zajišťující rozběh motoru



Obr. 4. Zapojení řídícího obvodu s rozdílovým zesilovačem na vstupu | rozdílový zesilovač řídící člen



Obr. 3. Zapojení řídícího obvodu s rozdílovým zesilovačem na vstupu



Obr. 5. Řízení stejnosměrného derivačního motoru triakem

nutná zpravidla tehdy, má-li se zajistit pravidelný chod motoru při proměnném zatížení na hřídeli. Uzavřená zpětnovazební smyčka zdánlivě zvětšuje krouticí moment na hřídeli motoru, zejména při změně rychlosti otáčení. K zajištění uzavřené zpětnovazební smyčky je nutné převést skutečnou rychlosť otáčení motoru na tzv. chybové napětí, které se zavádí do regulačního člena, kterým je v našem případě integrovaný obvod MAA436. Nejpoužívanějším prvkem, k získání chybového napětí je tachogenerátor, což je dynamo, obvykle cejchované, které dává ss napětí při otáčení na hřídeli. Umístíme jej s motorem na společný hřídel. Bývá obvyklé, že tachogenerátor je mnohdy až na hřídeli, na jehož rychlosť otáčení nejvíce záleží, tedy od motoru až za převodem a spojkou. Teoreticky je možné použít k získání chybového napětí i kotouč, který zakrývá při otáčení fotonku. Získané impulsy mají pak kmitočet úmerný rychlosti otáčení motoru. V kmitočtovém detektoru přeměníme tyto impulsy na stejnosměrné napětí. Tohoto způsobu se však užívá zřídka.

Na obr. 3 jsou dva způsoby připojení tachogenerátoru. V případě a se řídí proud do motoru, změnou ss napětí na výstupu tachogenerátoru. Potenciometr  $R_1$  slouží k nastavení rychlosti otáčení motoru. Zvětší-li se rychlosť motoru, je na výstupu tachogenerátoru větší ss napětí, které otevře více tranzistor T, to má za následek, že se změní napětí na výstupu 10, čímž se fázově posunou řídící impulsy, omezí se proud do motoru a zmenší se rychlosť otáčení motoru. Při rozběhu se naopak dostává na výstup 12 integrovaného obvodu takové stejnosměrné napětí (přes  $R_1$ ), které by mělo stačit na výstupu k plnému otevření triaku a plnému proudu do motoru. Kondenzátory  $C_1$  a  $C_2$  zajišťují stabilitu soustavy vůči kmitání.

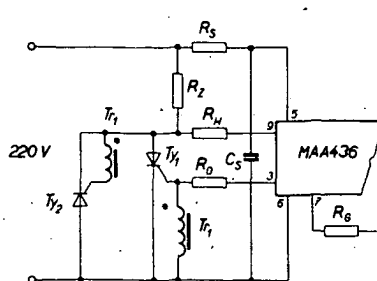
Při provedení podle obr. 3b je použit kmitočtové citlivý tachogenerátor. Změně rychlosti otáčení neodpovídá změna ss napětí, ale změna kmitočtu. Při každé změně napětí z tachogenerátoru se nabijí a vybijí kondenzátor  $C_1$  přes tranzistory T<sub>1</sub> a T<sub>2</sub>. Nabitém C<sub>1</sub> se nabije i kondenzátor C<sub>2</sub>, který

se pomalu vybijí přes odpory R<sub>1</sub> a R<sub>2</sub>. Střední napětí na C<sub>2</sub> je po filtraci členy R<sub>1</sub> a C<sub>3</sub> stejnosměrným řídícím signálem pro MAA436. Z výstupu 14 se odebírá napětí k napájení obou tranzistorů T<sub>1</sub> a T<sub>2</sub>.

Mnohdy je úroveň řídícího napětí tak malá, že k řízení integrovaného obvodu MAA436 nestačí. Tehdy je nutné připojit na výstup 12 ještě další zesilovač, nejlépe rozdílový, jenž je zjednodušeně naznačen na obr. 4. Jeho dva tranzistory lze napájet z výstupu 1 integrovaného obvodu. Bázi tranzistoru T<sub>2</sub> pak použijeme pro výstup řídícího signálu.

Při řízení stejnosměrného derivačního motoru musíme ještě řízené napětí usměrnit, než jím můžeme napájet kotvu motoru. Stejnosměrné napětí pro buzení se obvykle usměrňuje zvlášť (D<sub>5</sub> až D<sub>8</sub> na obr. 5).

U všech popsaných zapojení jsme předpokládali, že jako řídící člen je použit triak. Triak lze nahradit dvěma antiparalelně zapojenými tyristory. Každý z nich reaguje pak vždy jednu půlperiodu. Aby i na řídici elektrodě druhého tyristoru byl kladný, fázově se posouvající impuls, musíme do zapojení přidat ještě transformátor se dvěma vinutími (převod 1:1), který přenesne kladnou náběžnou hranu. Vlastnosti takto spojených dvou tyristorů jsou stejné jako vlastnosti jednoho triaku (obr. 6).



Obr. 6. Náhrada triaku dvěma tyristory